

картина соответствует состыкованию кристаллофизической оси X с осью Y в кристалле  $\text{LiNbO}_3$ .

Таким образом, в настоящей работе был изучен фотоупругий эффект в ниобате лития, а также экспериментально исследовано и объяснено распределение оптических индикаторов при кручении кристаллов  $\text{LiNbO}_3$ .

## Список литературы

- [1] Нарасимхамурти Т. С. Фотоупругие и электрооптические свойства кристаллов. М.: Мир, 1984. 624 с.
- [2] Сиротин Ю. И., Шаскольская М. П. Основы кристаллофизики. М.: Наука, 1975. 680 с.

Физико-механический институт  
им. Т. В. Карпенко АН УССР  
Львов

Поступило в Редакцию  
22 февраля 1991 г.

Львовский государственный университет  
им. И. Франко

УДК 539.2 : 548

© Физика твердого тела, том 33, № 8, 1991  
Solid State Physics, vol. 33, N 8, 1991

## ИСКАЖЕНИЯ ФОНОННЫХ СПЕКТРОВ КРИСТАЛЛОВ $\text{YBa}_2\text{Cu}_3\text{O}_7$ КИСЛОРОДНЫМИ ВАКАНСИЯМИ

B. Г. Mazurenko, B. C. Kortov

Переход в кристаллах  $\text{YBa}_2\text{Cu}_3\text{O}_x$  от орторомбической ( $x=7$ ) структуры к тетрагональной ( $x=6$ ) связан с освобождением ионами кислорода позиций (e) и их частичным перераспределением по позициям (v). Обозначения позиций приняты в соответствии с пространственной группой  $D_{2h}^1$  [1]. При этом возможно появление следующих дефектов: одиночные ваканции, диваканции ионов кислорода в цепочках ... O(4)—Cu(1)—O(4), комплекс—вакансия и междоузельный ион кислорода в ранее свободной позиции (v). Такие структурные изменения приводят к искажениям фононных спектров кристаллов  $\text{YBa}_2\text{Cu}_3\text{O}_7$ , проявляющимся в возникновении дополнительных колебательных мод в спектрах ИК и КР [2, 3].

Целью настоящей работы явилось изучение возмущающего воздействия описанных выше дефектов на фононные спектры кристаллов  $\text{YBa}_2\text{Cu}_3\text{O}_7$ .

Для моделирования динамики решетки идеальных и дефектных кристаллов  $\text{YBa}_2\text{Cu}_3\text{O}_7$  использовали модель жестких ионов. Параметры модели, а также рассчитанные на их основе частоты длинноволновых оптических фононов в центре зоны Бриллюэна приведены в работе [4]. Локальные плотности состояний (ЛПС) фононов в идеальном и дефектном кристаллах рассчитывали рекурсивным методом. Методика расчетов описана в работе [4]. С целью дополнительной проверки корректности используемых параметров нами рассчитана парциальная плотность фононных состояний (ППС) атомов меди в кристалле  $\text{YBa}_2\text{Cu}_3\text{O}_7$  (рис. 1). На этом рисунке приведена также экспериментально определенная парциальная плотность колебательных состояний атомов меди [5]. Видно, что хорошо описываются положение основного пика в ППС, а также граничная частота колебаний атомов меди. Хуже согласуется спектр выше 6 ТГц. Удовлетворительное согласие рассчитанной и экспериментальной ППС подтверждает корректность настоящего подхода. Все описанные выше дефекты в кристалле  $\text{YBa}_2\text{Cu}_3\text{O}_7$  реализуются в медь-кислородных цепочках ... O(4)—Cu(1)—O(4)... . Это обуславливает выбор атома меди Cu(1) в качестве «зонда», фиксирующего искажения фононных спектров кристалла  $\text{YBa}_2\text{Cu}_3\text{O}_7$ . В этой связи сначала рассчитывали ЛПС фононов

в позиции атома Cu(1) для направлений  $x$ ,  $y$ ,  $z$  в идеальном  $\rho_0$ , а затем дефектном  $\rho$  кристаллах. Максимумы в приращении ЛПС  $\Delta\rho = \rho - \rho_0$ , не совпадающие с максимумами  $\rho_0$ , интерпретировались нами как квазилокальные колебания, индуцируемые дефектами. При моделировании дефектных кристаллов учитывали различное зарядовое состояние вакансий (с положительным или отрицательным зарядом). Первый случай соответствует вакансии в позиции иона кислорода O(4), а второй — вакансии, захватившей электрон. Зарядовое состояние вакансии учитывали через кулоновскую часть динамической матрицы.

На рис. 2 представлены ЛПС в позиции атома Cu(1) в направлении  $x$  в идеальном кристалле, а также приращения ЛПС при наличии вакансий с положительным или отрицательным зарядом. Положительно заряженная

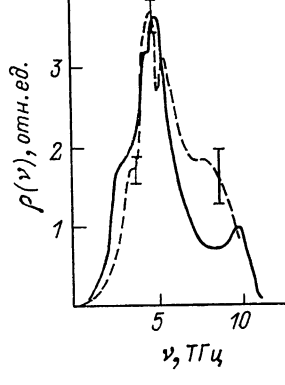


Рис. 1. ППС атомов меди в кристаллах  $\text{YBa}_2\text{Cu}_3\text{O}_7$ .

Сплошная линия — расчет, штриховая — эксперимент [1].

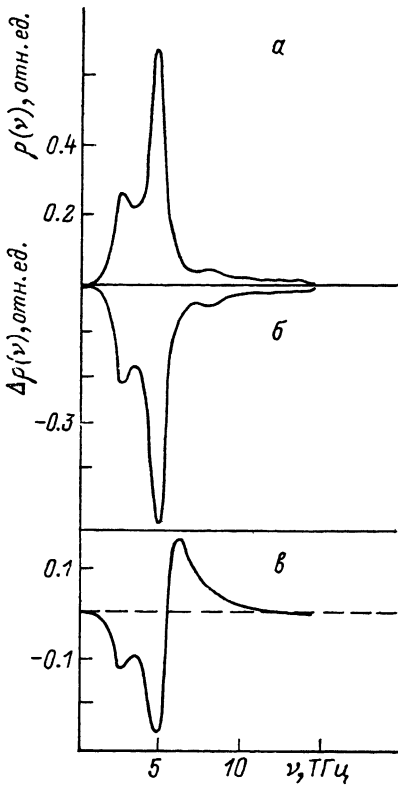


Рис. 2. ЛПС в позиции атома Cu(1) в направлении  $x$  в кристалле  $\text{YBa}_2\text{Cu}_3\text{O}_7$ .

а — идеальный кристалл, б —  $\Delta\rho$  при наличии положительно заряженной вакансии, в —  $\Delta\rho$  при наличии отрицательно заряженной вакансии иона кислорода O(4) или дивакансии.

вакансия не приводит к появлению дополнительных колебательных мод. В случае же отрицательно заряженной вакансии индуцируется резонансное колебание с частотой  $\sim 6.3$  ТГц. Результаты расчетов для различных направлений и типов дефектов сведены в таблицу. Анализ таблицы показывает, что значения частот резонансных колебаний существенно зависят от направления и зарядового состояния дефекта. Для отрица-

Частоты квазилокальных колебаний, индуцируемых дефектами в кристалле  $\text{YBa}_2\text{Cu}_3\text{O}_7$

Направление	Частота квазилокальных колебаний, ТГц					
	одиночная вакансия		дивакансия		междоузельный ион кислорода и вакансия	
	полож. заряж.	отриц. заряж.	полож. заряж.	отриц. заряж.		
$x$	—	6.3	—	6.3	1.3	
$y$	—	—	9.07	—	8.03	
$z$	—	7.9	5.5	7.9	5.8	

тельно заряженной вакансии и дивакансии искажения фононного спектра кристалла  $\text{YBa}_2\text{Cu}_3\text{O}_7$ , совпадают. Все квазилокальные колебания анизотропны. Это позволяет осуществить экспериментальную проверку полученных данных. В работе [2] в спектрах КР монокристаллов  $\text{YBa}_2\text{Cu}_3\text{O}_7$ , при  $6.61 \leq x \leq 6.79$  обнаружена дополнительная полоса около 6.9 ТГц, имеющая аномальную температурную зависимость. Кроме того, аналогичная полоса в спектре КР наблюдалась в геометрии  $(xx)$  [3]. В спектрах ИК нестехиометрических образцов  $\text{YBa}_2\text{Cu}_3\text{O}_7$ , зарегистрирована дополнительная полоса на частоте  $\sim 6.6$  ТГц [3].

Все рассчитанные нами частоты квазилокальных колебаний в оптической части спектра группируются в области от 5.5 до 9.1 ТГц. Учитывая, что в спектрах КР дополнительная мода на частоте 6.9 ТГц наблюдается в геометрии  $(xx)$ , можно сделать вывод о связи этого колебания с одиночными вакансиями и дивакансиями с локализацией на них части электронной плотности. Расхождение результатов расчетов с экспериментом обусловлено приближениями модели жестких ионов, а также пренебрежением релаксацией решетки.

### Список литературы

- [1] International Tables for X-Ray Crystallography. V. 1. Birmingham, Kynock Press, 1952. P. 558.
- [2] Поносов Ю. С., Болотин Г. А., Гурин О. В., Чеботаев Н. М., Самохвалов А. А., Наумов С. В. // Письма в ЖЭТФ. 1988. Т. 48. № 7. С. 380—383.
- [3] Feile R. // Physica C. 1989. V. 159. N 1. P. 1—32.
- [4] Мазуренко В. Г., Кортов В. С. // ФТТ. 1990. Т. 32. № 10. С. 3034—3037.
- [5] Паршин П. П., Землянов М. Г., Парфенов О. Е., Чернышев А. А. // Письма в ЖЭТФ. 1990. Т. 51. № 7. С. 380—382.

Уральский политехнический институт  
им. С. М. Кирова  
Свердловск

Поступило в Редакцию  
25 февраля 1991 г.

УДК 539.219.3

© Физика твердого тела, том 33, № 8, 1991  
Solid State Physics, vol. 33, N 8, 1991

## ВОЛНА ДЕФОРМАЦИИ СДВИГА ПРИ ДИФФУЗИОННОМ ПЕРЕМЕЩЕНИИ АТОМА ПО РЕШЕТКЕ

B. B. Мещеряков

В недавних работах [1, 2] вновь обсуждаются вопросы о роли упругих деформаций решетки при диффузии атомов и, как следствие, о сдвиговой неустойчивости реальных кристаллов при высоких температурах. В связи с этим возникает необходимость решения динамической задачи о возмущении решетки единичным диффузионным пробегом атома.

Возмущением в этой задаче является плотность силы  $\mathbf{F}(\mathbf{r}, t)$ , действующей на решетку со стороны диффундирующего атома. Полагая, что характерная область движения атома  $r(t) \ll r$  — расстояния до точки наблюдения, представим  $\mathbf{F}(\mathbf{r}, t)$  мультипольным разложением

$$F_i(\mathbf{r}, t) = f_i(t) \delta(\mathbf{r}) - P_{in}(t) \partial_n \delta(\mathbf{r}). \quad (1)$$

Монопольная и дипольная составляющие (1) определяются силой  $f(t) = m d_r^2 \mathbf{r}(t)$ , где  $m$  — масса атома, и силовой диадой  $P(t) = [\mathbf{f}_0 + \mathbf{f}(t)] \times \times [\mathbf{r}_0 + \mathbf{r}(t)]$ . Постоянные векторы  $\mathbf{f}_0$  и  $\mathbf{r}_0$  характеризуют начальное состояние решетки ( $\mathbf{f}_0 \times \mathbf{r}_0 = 0$ ) и определяют тензор статических силовых диполей